

UNIVERSIDADE FEDERAL DE MINAS GERAIS

*Instituto de Ciências Exatas*

*Departamento de Ciência da Computação*

Daniel Terra Gomes

## **Trabalho Prático 3: Exploração e Mapeamento**

Belo Horizonte, MG

10 de outubro de 2025

*“Behind me lies a farm.  
I wonder if there is bread above the hearth  
and if I will ever return.”*  
*(Pantheon, League of Legends)*

# Listas de ilustrações

Figura 1 – Arquitetura hierárquica dos subsistemas de condução autônoma (Khan <i>et al.</i> , 2022, p. 4) . . . . .	7
Figura 2 – Matriz de adequação sensorial para diferentes condições operacionais (Khan <i>et al.</i> , 2022, p. 6) . . . . .	8
Figura 3 – Cenário Estático . . . . .	10
Figura 4 – Cenário Dinâmico . . . . .	10
Figura 5 – Cenário Estático com $\text{cell\_size} = 0.01\text{m}$ . (a) Trajetória do robô e pontos do laser. (b) Occupancy Grid gerado. . . . .	29
Figura 6 – Cenário Estático com $\text{cell\_size} = 0.1\text{m}$ . Equilíbrio ideal entre resolução e eficiência. . . . .	30
Figura 7 – Cenário Estático com $\text{cell\_size} = 0.5\text{m}$ . Resolução insuficiente para mapeamento detalhado. . . . .	31
Figura 8 – Cenário Dinâmico com $\text{cell\_size} = 0.01\text{m}$ . Filtragem de objetos móveis. . . . .	32
Figura 9 – Cenário Dinâmico com $\text{cell\_size} = 0.1\text{m}$ . Melhor equilíbrio para ambi- entes dinâmicos. . . . .	33
Figura 10 – Cenário Dinâmico com $\text{cell\_size} = 0.5\text{m}$ . Resolução insuficiente. . . . .	33

# Listas de trechos de código

1.1	Estrutura Geral do Código . . . . .	10
2.1	Dependências . . . . .	12
3.1	Lógica hierárquica do wall-follower. . . . .	16
4.1	Estrutura de dados da grade. . . . .	21
4.2	Limites do mapa em coordenadas globais. . . . .	21
4.3	Conversão de coordenadas mundo para grade. . . . .	22
4.4	Conversão de grade para mundo (centro da célula). . . . .	22
4.5	Validação de índices da grade. . . . .	23
4.6	Algoritmo de Bresenham para rastreamento de raio. . . . .	23
4.7	Algoritmo Occupancy Grid (log-odds). . . . .	24
4.8	Conversão log-odds para probabilidade. . . . .	24
4.9	Aplicação de ruído Gaussiano aos dados laser. . . . .	25
6.1	Exportação de ângulos corretos (fastHokuyo.lua). . . . .	37

# Sumário

<b>1</b>	<b>INTRODUÇÃO</b>	<b>6</b>
1.1	Objetivos	6
1.2	Contextualização do Problema	7
1.3	Ambiente de Desenvolvimento	8
1.4	Especificações do Robô Kobuki	9
1.5	Cenários de Teste	9
1.6	Estrutura Geral do Código	10
<b>2</b>	<b>EXECUÇÃO</b>	<b>12</b>
2.1	Dependências	12
2.2	Como Executar	12
2.3	Parâmetros de Configuração	13
<b>3</b>	<b>NAVEGAÇÃO</b>	<b>14</b>
3.1	Motivação e Escolha da Estratégia	14
3.2	Divisão do Espaço Sensorial	14
3.3	Estratégia de Wall-Following	15
3.3.1	Prioridade 1: Recuperação Ativa	15
3.3.2	Prioridade 2: Prevenção de Colisão	15
3.3.3	Prioridade 3: Seguimento de Parede	15
3.3.4	Prioridade 4: Busca de Parede	16
3.4	Parâmetros de Controle	16
3.5	Código-Chave: Lógica de Navegação	16
3.6	Justificativa das Escolhas	18
<b>4</b>	<b>IMPLEMENTAÇÃO</b>	<b>19</b>
4.1	Fundamentos Teóricos	19
4.1.1	Formulação Matemática do Occupancy Grid	19
4.1.2	Suposição de Independência	19
4.1.3	Representação Log-Odds	20
4.1.4	Modelo Inverso do Sensor	20
4.2	Representação da Grade	21
4.2.1	Limites do Mapa	21
4.3	Discretização do Espaço Contínuo	21
4.3.1	Conversão: Mundo → Grade	22
4.3.2	Conversão: Grade → Mundo	22

4.3.3	Validação de Índices . . . . .	23
<b>4.4</b>	<b>Algoritmo de Rastreamento de Raio . . . . .</b>	<b>23</b>
4.4.1	Algoritmo de Bresenham . . . . .	23
<b>4.5</b>	<b>Atualização do Mapa . . . . .</b>	<b>24</b>
4.5.1	Pseudocódigo do Algoritmo . . . . .	24
<b>4.6</b>	<b>Conversão para Visualização . . . . .</b>	<b>24</b>
<b>4.7</b>	<b>Adição de Ruído Sensorial . . . . .</b>	<b>25</b>
4.7.1	Modelo de Ruído Implementado . . . . .	25
4.7.2	Aplicação do Ruído . . . . .	25
4.7.3	Impacto do Ruído no Mapeamento . . . . .	26
<b>5</b>	<b>TESTES . . . . .</b>	<b>28</b>
<b>5.1</b>	<b>Metodologia de Testes . . . . .</b>	<b>28</b>
<b>5.2</b>	<b>Métricas Avaliadas . . . . .</b>	<b>28</b>
<b>5.3</b>	<b>Resultados: Cenário Estático . . . . .</b>	<b>29</b>
5.3.1	Experimento 1: Estático com <code>cell_size = 0.01m</code> . . . . .	29
5.3.2	Experimento 2: Estático com <code>cell_size = 0.1m</code> . . . . .	30
5.3.3	Experimento 3: Estático com <code>cell_size = 0.5m</code> . . . . .	30
<b>5.4</b>	<b>Resultados: Cenário Dinâmico . . . . .</b>	<b>31</b>
5.4.1	Experimento 4: Dinâmico com <code>cell_size = 0.01m</code> . . . . .	31
5.4.2	Experimento 5: Dinâmico com <code>cell_size = 0.1m</code> . . . . .	32
5.4.3	Experimento 6: Dinâmico com <code>cell_size = 0.5m</code> . . . . .	33
<b>5.5</b>	<b>Análise Comparativa . . . . .</b>	<b>34</b>
5.5.1	Impacto do Tamanho de Célula . . . . .	34
5.5.2	Comparação: Estático vs Dinâmico . . . . .	34
<b>5.6</b>	<b>Validação da Solução . . . . .</b>	<b>35</b>
<b>6</b>	<b>CONCLUSÃO . . . . .</b>	<b>36</b>
<b>6.1</b>	<b>Principais Resultados . . . . .</b>	<b>36</b>
<b>6.2</b>	<b>Principais Dificuldades Encontradas . . . . .</b>	<b>37</b>
6.2.1	Integração com Sensor Laser fastHokuyo . . . . .	37
6.2.2	Correção Crítica: Fórmula de Conversão Log-Odds . . . . .	37
6.2.3	Estratégia de Navegação e Recuperação . . . . .	38
<b>6.3</b>	<b>Considerações Finais . . . . .</b>	<b>38</b>
	<b>REFERÊNCIAS . . . . .</b>	<b>39</b>

# 1 Introdução

Este documento apresenta a solução desenvolvida para o Trabalho Prático 3 (TP3) da disciplina de Robótica Móvel, focado em exploração autônoma e mapeamento utilizando o algoritmo *Occupancy Grid*. O objetivo principal é implementar um sistema completo de mapeamento probabilístico que permita ao robô construir um mapa do ambiente desconhecido enquanto navega de forma autônoma.

## 1.1 Objetivos

Os objetivos deste trabalho prático são:

1. **Implementar o algoritmo Occupancy Grid:** algoritmo probabilístico de mapeamento que representa o ambiente como uma grade de células, onde cada célula possui uma probabilidade de ocupação. A implementação deve:
  - Utilizar representação em *log-odds* para eficiência computacional;
  - Aplicar o modelo inverso do sensor (*inverse sensor model*) para atualização bayesiana;
  - Tratar a discretização do espaço contínuo para a grade discreta.
2. **Desenvolver estratégia de navegação para exploração:** implementar uma estratégia simples e reativa de navegação que permita ao robô explorar o ambiente de forma autônoma. Neste trabalho, foi utilizada a estratégia de *wall-following* (seguimento de parede) baseada em algoritmos Bug ([Macharet, 2025b](#)).
3. **Avaliar impacto do tamanho de célula:** realizar experimentos variando o tamanho da célula da grade (0.01m, 0.1m e 0.5m).
4. **Testar em ambientes estático e dinâmico:** validar a robustez da solução em dois cenários distintos, garantindo que o sistema funcione corretamente mesmo na presença de obstáculos dinâmicos.
5. **Visualizar resultados incrementais:** gerar visualizações que mostrem a trajetória do robô, as leituras do sensor laser e o mapa de ocupação construído ao longo do tempo.

## 1.2 Contextualização do Problema

O mapeamento é uma das competências fundamentais para robôs verdadeiramente autônomos (Thrun; Burgard; Fox, 2005). A capacidade de construir mapas a partir de dados sensoriais permite que robôs, localizem-se no ambiente, planejem trajetórias e tomem decisões, conforme a hierárquica dos subsistemas de condução visto na Figura 1.

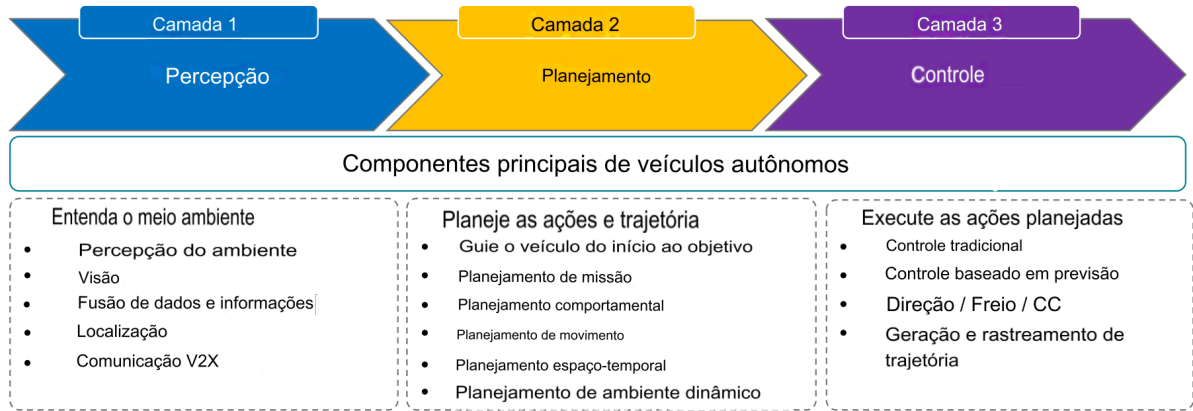


Figura 1 – Arquitetura hierárquica dos subsistemas de condução autônoma (Khan *et al.*, 2022, p. 4)

O problema de mapeamento apresenta diversos desafios:

- **Incerteza sensorial:** sensores laser, sonar e câmeras são inherentemente ruidosos e imprecisos;
- **Erros odométricos:** a localização do robô acumula erros ao longo do tempo devido a deslizamentos e imperfeições mecânicas;
- **Ambiguidade perceptual:** diferentes locais podem parecer similares aos sensores;
- **Fechamento de loops:** reconhecer quando o robô retorna a um local já visitado.

De modo a superar esses desafios a integração sensorial, conforme demonstrado nas Figura 2, é fundamental para viabilizar o desempenho satisfatório dos VA em uma ampla gama de cenários. Entretanto, aplicação dessas técnicas vão além dos requisitos deste trabalho.

Parâmetros	Camera	Radar	LIDAR	Ultra-sonic	Fusão
Campo de visão	3	4	3	2	4
Faixa	3	4	4	1	4
Resolução de velocidade	2	3	4	1	4
Resolução Angular	4	3	2	1	4
Tempo Adverso	2	2	3	2	4
Perturbação de escuridão/luz	3	4	4	4	4
Classificação de objetos	4	3	2	2	4
Detecção de todas as superfícies de objetos	3	3	3	3	4
Esquema de cores: 1 → Pior, 2 → Medíocre, 3 → Aceitável, 4 → Bom					

Figura 2 – Matriz de adequação sensorial para diferentes condições operacionais ([Khan et al., 2022](#), p. 6)

Portanto, neste trabalho, simplificamos o problema assumindo que **a localização do robô é conhecida**, obtida diretamente da API do simulador CoppeliaSim ([Coppelia Robotics, 2024](#)). Esta suposição é equivalente à fase de pós-processamento de algoritmos SLAM (Simultaneous Localization and Mapping), onde a trajetória já foi estimada e o objetivo é construir um mapa consistente ([Thrun; Burgard; Fox, 2005](#)).

### 1.3 Ambiente de Desenvolvimento

O desenvolvimento foi realizado utilizando as seguintes ferramentas:

- **CoppeliaSim Edu V4.10.0:** simulador de robótica 3D utilizado para criar os cenários e simular o robô Kobuki ([Coppelia Robotics, 2024](#));
- **Python 3.13 via Miniconda:** linguagem de programação principal;
- **Bibliotecas Python:**
  - NumPy 2.1.3: computação numérica e álgebra linear;
  - Matplotlib 3.9.2: visualização de gráficos e mapas;
  - Pillow 11.0.0: manipulação e salvamento de imagens;
  - SciPy 1.14.1: funções científicas (rotações, interpolação);
- **Jupyter Notebook via VS Code:** ambiente interativo para desenvolvimento e documentação;
- **ZMQ Remote API:** interface de comunicação entre Python e CoppeliaSim para controle do robô e leitura de sensores;
- **LaTeX:** preparação da documentação técnica.

## 1.4 Especificações do Robô Kobuki

O robô utilizado neste trabalho é o **Kobuki**, um robô móvel diferencial amplamente utilizado em pesquisa e educação em robótica. As especificações técnicas relevantes para este trabalho são ([Yujin Robot, 2025](#)):

- **Tipo:** Robô diferencial (differential drive);
- **Distância entre rodas** (*wheelbase, L*): 0.230 m;
- **Raio das rodas** (*r*): 0.035 m;
- **Diâmetro do corpo** (*footprint*):  $\approx$  0.30 m;
- **Raio efetivo** (para planejamento):  $\approx$  0.15 m;
- **Velocidade linear máxima:** 0.70 m/s;
- **Velocidade angular máxima:**  $180^\circ/\text{s}$  ( $\pi \text{ rad/s}$ );
- **Sensor laser:** fastHokuyo, com 684 feixes cobrindo  $180^\circ$  ( $-90^\circ$  a  $+90^\circ$ ), alcance máximo de 5.0 m.

O modelo cinemático do robô diferencial é dado por:

$$\begin{bmatrix} \dot{x} \\ \dot{y} \\ \dot{\theta} \end{bmatrix} = \begin{bmatrix} v \cos \theta \\ v \sin \theta \\ \omega \end{bmatrix} \quad (1.1)$$

Onde:  $v$  = velocidade linear do robô (m/s)

$\omega$  = velocidade angular do robô (rad/s)

$\theta$  = orientação do robô (rad)

## 1.5 Cenários de Teste

Foram utilizados dois cenários fornecidos pelo professor para validação da solução:

- **Cenário Estático** (`cena-tp3-estatico.ttt`): ambiente com obstáculos fixos (paredes, mobília), ideal para avaliar a qualidade básica do mapeamento, conforme visto na Figura 3;

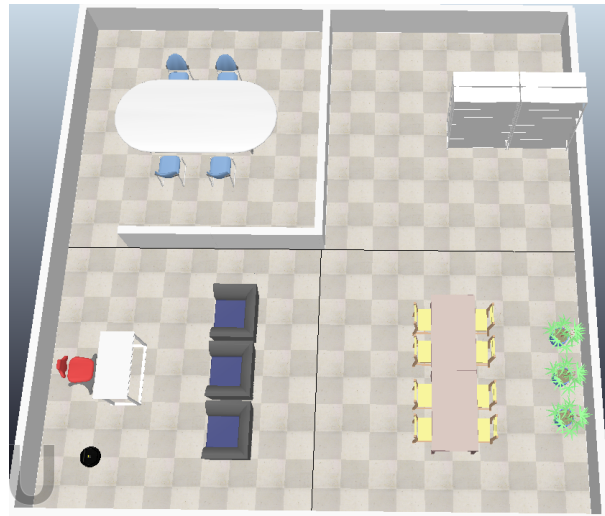


Figura 3 – Cenário Estático

- **Cenário Dinâmico** (`cena-tp3-dinamico.ttt`): ambiente com obstáculos móveis (pessoas, objetos), desafiando a capacidade do algoritmo de filtrar ruído temporário, conforme visto na Figura 4.

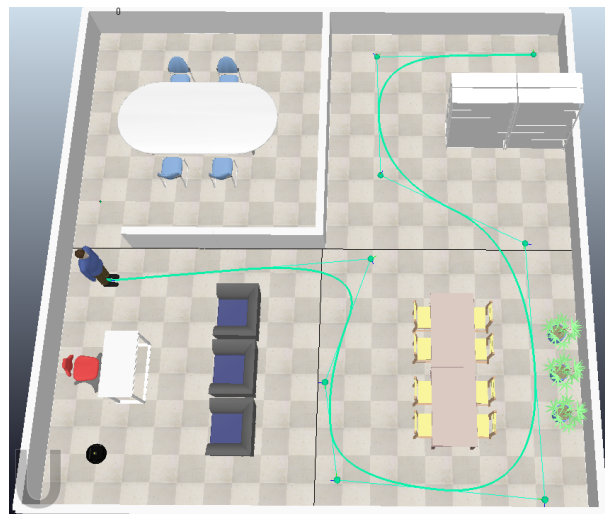


Figura 4 – Cenário Dinâmico

## 1.6 Estrutura Geral do Código

O projeto foi organizado de forma modular para facilitar a reutilização, manutenção e compreensão do código. A estrutura do diretório é apresentada a seguir na Lista de Código 1.1.

```

1 T3/
2 |-- dev/
3 |   |-- utils/
4 |   |   |-- kobuki_controller.py      # Controle Kobuki

```

```
5 |     |     |-- occupancy_grid_mapper.py    # Occupancy Grid
6 |     |     |-- wall_follower.py          # Navegação
7 |     |     |-- tp3_utils.py            # Utils
8 |     |     |-- visualization_utils.py   # Geração de gráficos
9 |
10 |    |-- TP3.ipynb                   # Notebook principal
11 |
12 |-- documentation/
13 |    |-- TP3.tex                    # Este documento (LaTeX)
14 |    |-- Figures/                  # Figuras e resultados
15 |
16 |-- cena-tp3-estatico.ttt        # Cenário estático
17 |-- cena-tp3-dinamico.ttt        # Cenário dinâmico
```

Lista de código 1.1 – Estrutura Geral do Código

Os módulos principais são:

- `kobuki_controller.py`: gerencia comunicação com CoppeliaSim e controle de baixo nível do robô;
- `occupancy_grid_mapper.py`: implementa o algoritmo Occupancy Grid com representação log-odds;
- `wall_follower.py`: estratégia reativa de navegação baseada em wall-following;
- `tp3_utils.py`: transformações de coordenadas, leitura de laser, etc.;
- `visualization_utils.py`: geração de plots incrementais e mapas finais.

## 2 Execução

### 2.1 Dependências

Para executar o código desenvolvido, é necessário instalar as seguintes dependências Python da Lista de Código 2.1:

```

1 # Via conda/miniconda:
2 conda create -n tp3 python=3.13
3 conda activate tp3
4
5 # Instalar bibliotecas:
6 pip install numpy==2.1.3
7 pip install matplotlib==3.9.2
8 pip install pillow==11.0.0
9 pip install scipy==1.14.1
10 pip install coppeliasim-zmqremoteapi-client

```

Lista de código 2.1 – Dependências

Além disso, é necessário ter o **CoppeliaSim Edu V4.10.0** instalado no sistema.

### 2.2 Como Executar

O procedimento de execução é o seguinte:

1. **Abrir o CoppeliaSim**: iniciar o simulador CoppeliaSim;
2. **Carregar cenário**: abrir uma das cenas fornecidas:
  - cena-tp3-estatico.ttt (ambiente estático)
  - cena-tp3-dinamico.ttt (ambiente dinâmico)
3. **Executar notebook**: abrir o arquivo TP3.ipynb no VS Code ou Jupyter Notebook;
4. **Configurar parâmetros**: no início do notebook, configurar:
  - CELL\_SIZE: tamanho da célula (0.01, 0.1 ou 0.5)
  - MAX\_ITERATIONS: número máximo de iterações de exploração
  - SCENARIO: 'static' ou 'dynamic'

5. **Executar células sequencialmente:** rodar todas as células do notebook na ordem.  
O código irá:

- Conectar-se ao CoppeliaSim via ZMQ API;
- Inicializar o mapeador e navegador;
- Executar loop de exploração (leitura laser → navegação → atualização mapa);
- Gerar visualizações incrementais;
- Salvar mapa final como imagem.

6. **Analizar resultados:** os gráficos e mapas serão salvos na pasta `Figures/`.

## 2.3 Parâmetros de Configuração

Os principais parâmetros do sistema são:

- **Mapa:**
  - `MAP_SIZE`: dimensões do mapa em metros [largura, altura];
  - `MAP_ORIGIN`: coordenadas do canto inferior esquerdo [x, y];
  - `CELL_SIZE`: tamanho de cada célula (0.01, 0.1 ou 0.5 m).
- **Occupancy Grid:**
  - `L_OCC`: log-odds para célula ocupada ( $\approx +2.197$ );
  - `L_FREE`: log-odds para célula livre ( $\approx -2.197$ );
  - `HIT_RADIUS`: raio ao redor do ponto de impacto laser (0.2 m).
- **Navegação:**
  - `V_NOMINAL`: velocidade linear nominal (0.4 m/s);
  - `W_MAX`: velocidade angular máxima ( $45^\circ/\text{s}$ );
  - `D_SAFE`: distância segura a obstáculos (0.4 m);
  - `D_FOLLOW`: distância desejada para seguir parede (0.6 m).

# 3 Navegação

A estratégia de navegação utilizada neste trabalho é baseada no algoritmo de **wall-following** (seguimento de parede pela direita), inspirado nos algoritmos Bug ([Macharet, 2025b](#)). Esta abordagem foi escolhida por sua simplicidade e adequação ao problema de exploração autônoma.

## 3.1 Motivação e Escolha da Estratégia

O enunciado do TP3 especifica que a estratégia de navegação deve ser **simples** e capaz de explorar o ambiente de forma autônoma. Algoritmos Bug são amplamente utilizados em robótica móvel devido às seguintes características:

- **Reatividade:** decisões baseadas apenas em leituras sensoriais locais (laser), sem necessidade de planejamento global;
- **Robustez:** funcionam bem mesmo com mapas incompletos ou desconhecidos;
- **Exploração:** o movimento ao longo das paredes garante cobertura significativa do ambiente;
- **Simplicidade:** implementação direta sem necessidade de estruturas complexas.

## 3.2 Divisão do Espaço Sensorial

O sensor laser fastHokuyo fornece 684 feixes cobrindo 180° (de -90° a +90° em relação ao robô). Para simplificar as decisões de navegação, dividimos o espaço sensorial em três setores:

- **Setor DIREITO:** -90° a -30° (detecção de parede à direita);
- **Setor FRONTAL:** -30° a +30° (detecção de obstáculos à frente);
- **Setor ESQUERDO:** +30° a +90° (detecção de parede à esquerda).

Para cada setor, calculamos a distância mínima aos obstáculos:

$$d_{\text{setor}} = \min(\{r_i \mid \theta_i \in \text{setor}\}) \quad (3.1)$$

Onde:  $r_i$  = distância medida pelo feixe  $i$   
 $\theta_i$  = ângulo do feixe  $i$  em relação ao robô

### 3.3 Estratégia de Wall-Following

O algoritmo de wall-following implementado segue a seguinte lógica hierárquica:

#### 3.3.1 Prioridade 1: Recuperação Ativa

Quando o robô detecta que está **preso** (stuck), executa uma manobra de recuperação:

- **Detecção:** contador incrementado quando  $d_{\min} < d_{\text{critical}}$  por mais de 30 iterações (1.5s);
- **Ação:** movimento reverso com rotação para a direita por 40 iterações (2.0s);
- **Velocidades:**  $v = -0.2 \times 0.4 = -0.08$  m/s (ré),  $\omega = -w_{\max} \times 0.6$  (girando direita);
- **Saída antecipada:** se durante a recuperação  $d_{\min} > d_{\text{safe}}$ , a manobra é interrompida.

Esta estratégia garante que o robô recue aproximadamente 0.16m ( $0.08$  m/s  $\times$  2.0s), o suficiente para liberar a maioria dos obstáculos.

#### 3.3.2 Prioridade 2: Prevenção de Colisão

Quando o robô está muito próximo de um obstáculo mas ainda não preso:

- Se  $d_{\min} < d_{\text{critical}}$  (0.25m): parada de emergência ( $v = 0, \omega = 0$ );
- Se  $d_{\min} < d_{\text{very\_close}}$  (0.35m): recuo suave ( $v = -0.2$  m/s,  $\omega = 0$ );
- Se  $d_{\text{front}} < d_{\text{safe}}$  (0.4m): rotação para evitar colisão frontal.

#### 3.3.3 Prioridade 3: Seguimento de Parede

Quando não há obstáculos iminentes, o robô segue a parede direita usando controle proporcional:

$$\omega = K_p \times (d_{\text{right}} - d_{\text{follow}}) \quad (3.2)$$

Onde:  $K_p$  = ganho proporcional (ajustável, tipicamente  $\approx 0.5$ )  
 $d_{\text{right}}$  = distância medida ao setor direito  
 $d_{\text{follow}}$  = distância desejada para seguir parede (0.6m)

A velocidade linear permanece constante:  $v = v_{\text{nominal}} = 0.4 \text{ m/s}$ .

### 3.3.4 Prioridade 4: Busca de Parede

Quando o robô perde a parede direita ( $d_{\text{right}} > d_{\text{follow}} + \epsilon$ ), executa um giro gradual para a direita para reencontrar a parede:

$$\omega = -0.05 \text{ rad/s} \quad (\text{giro suave para direita}) \quad (3.3)$$

A velocidade linear é mantida para continuar avançando:  $v = v_{\text{nominal}}$ .

## 3.4 Parâmetros de Controle

Os principais parâmetros do controlador de navegação são listados na Tabela 1.

Tabela 1 – Parâmetros do Controlador de Navegação

Parâmetro	Valor	Descrição
$v_{\text{nominal}}$	0.4 m/s	Velocidade linear nominal
$\omega_{\text{max}}$	45°/s	Velocidade angular máxima
$d_{\text{critical}}$	0.25 m	Distância crítica (raio robô + margem)
$d_{\text{very\_close}}$	0.35 m	Distância de alerta antecipado
$d_{\text{safe}}$	0.4 m	Distância segura mínima
$d_{\text{follow}}$	0.6 m	Distância alvo para seguir parede
$\text{stuck\_threshold}$	30 iter.	Iterações antes de detectar travamento
$\text{recovery\_duration}$	40 iter.	Duração da manobra de recuperação

Estes parâmetros foram calibrados com base nas especificações do robô Kobuki (Yujin Robot, 2025) e validados empiricamente nos experimentos.

## 3.5 Código-Chave: Lógica de Navegação

A implementação central do wall-follower está no método `plan_step` da classe `WallFollower`. O Código 3.1 apresenta a estrutura simplificada da lógica de decisão:

```

1 def plan_step(self, laser_data):
2     # Calcular distâncias mínimas por setor
3     d_min = np.min(laser_data[:, 1])

```

```

4     d_right = np.min(right_sector)
5     d_front = np.min(front_sector)
6
7     # PRIORIDADE 1: Recuperacao ativa
8     if self.recovery_steps > 0:
9         v = -self.v_nominal * self.recovery_v_scale # -0.08 m/s
10        w = -self.w_max * self.recovery_w_scale      # giro direita
11        self.recovery_steps -= 1
12
13    # Saida antecipada se obstaculo foi liberado
14    if d_min > self.d_safe:
15        self.recovery_steps = 0
16        self.stuck_counter = 0
17    return v, w
18
19    # PRIORIDADE 2: Deteccao de travamento
20    elif d_min < self.d_critical:
21        self.stuck_counter += 1
22        if self.stuck_counter > self.stuck_threshold:
23            # Iniciar recuperacao
24            self.recovery_steps = self.recovery_duration
25            return 0.0, 0.0 # parada emergencial
26        else:
27            return 0.0, 0.0 # parada temporaria
28
29    # PRIORIDADE 3: Evitar colisao iminente
30    elif d_min < self.d_very_close:
31        return -0.2, 0.0 # recuar devagar
32
33    elif d_front < self.d_safe:
34        return 0.0, self.w_max # girar esquerda
35
36    # PRIORIDADE 4: Seguir parede direita
37    else:
38        self.stuck_counter = 0
39
40        if d_right < self.d_follow + 0.1:
41            # Controle proporcional
42            error = d_right - self.d_follow
43            w = error * 0.5 # K_p = 0.5
44            return self.v_nominal, w
45        else:
46            # Buscar parede (giro suave direita)
47            return self.v_nominal, -0.05

```

Lista de código 3.1 – Lógica hierárquica do wall-follower.

### 3.6 Justificativa das Escolhas

As decisões de projeto foram baseadas nos seguintes critérios:

1. **Simplicidade**: código legível e manutenível, conforme requisito do TP3;
2. **Robustez**: hierarquia de prioridades evita estados indefinidos;
3. **Segurança**: múltiplas camadas de detecção de colisão (critical, very\_close, safe);
4. **Eficiência**: saída antecipada da recuperação economiza tempo;
5. **Exploração**: seguir parede direita garante cobertura do ambiente.

Estas características tornam a estratégia adequada tanto para ambientes estáticos quanto dinâmicos, conforme será demonstrado nos experimentos (Capítulo 5).

# 4 Implementação

Este capítulo detalha a implementação do algoritmo Occupancy Grid, incluindo estruturas de dados, decisões de projeto e tratamento da discretização.

## 4.1 Fundamentos Teóricos

### 4.1.1 Formulação Matemática do Occupancy Grid

O algoritmo Occupancy Grid foi proposto por [Moravec e Elfes \(1985\)](#) e é amplamente descrito no Capítulo 9 de Probabilistic Robotics ([Thrun; Burgard; Fox, 2005](#)). O objetivo é calcular a posterior sobre mapas dada a sequência de medições e poses do robô:

$$p(m|z_{1:t}, x_{1:t}) \quad (4.1)$$

Onde:  $m$  = mapa (conjunto de todas as células  $m_i$ )

$z_{1:t}$  = medições do sensor até o tempo  $t$

$x_{1:t}$  = trajetória do robô até o tempo  $t$

O mapa  $m$  é particionado em células discretas:

$$m = \sum_i m_i \quad (4.2)$$

Cada célula  $m_i$  é uma variável aleatória binária:  $m_i \in \{0, 1\}$ , onde 1 indica ocupado e 0 indica livre.

### 4.1.2 Suposição de Independência

A abordagem padrão do Occupancy Grid assume que as células são independentes entre si ([Thrun; Burgard; Fox, 2005](#)):

$$p(m|z_{1:t}, x_{1:t}) \approx \prod_i p(m_i|z_{1:t}, x_{1:t}) \quad (4.3)$$

Esta fatoração reduz o problema intratável (posterior sobre  $2^N$  mapas possíveis, onde  $N$  é o número de células) em  $N$  problemas binários independentes.

### 4.1.3 Representação Log-Odds

Para evitar instabilidades numéricas ao multiplicar probabilidades muito pequenas, utilizamos a representação *log-odds* (Thrun; Burgard; Fox, 2005):

$$l_{t,i} = \log \frac{p(m_i|z_{1:t}, x_{1:t})}{1 - p(m_i|z_{1:t}, x_{1:t})} \quad (4.4)$$

A principal vantagem é transformar multiplicações em somas:

$$l_{t,i} = l_{t-1,i} + \text{inverse\_sensor\_model}(m_i, x_t, z_t) - l_0 \quad (4.5)$$

Onde:  $l_{t,i}$  = log-odds da célula  $i$  no tempo  $t$

$l_0$  = log-odds do prior ( $= \log(0.5/0.5) = 0$  para prior uniforme)

A conversão de log-odds para probabilidade é feita por:

$$p(m_i|z_{1:t}, x_{1:t}) = \frac{1}{1 + \exp(l_{t,i})} \quad (4.6)$$

### 4.1.4 Modelo Inverso do Sensor

O modelo inverso do sensor  $p(m_i|z_t, x_t)$  implementa a interpretação da leitura laser (Thrun; Burgard; Fox, 2005). Para cada célula  $i$  e feixe de laser  $k$ :

$$\text{inverse\_sensor\_model}(m_i, x_t, z_t) = \begin{cases} l_{\text{occ}} & \text{se } |r_i - z_t^k| < \alpha/2 \\ l_{\text{free}} & \text{se } r_i < z_t^k \\ l_0 & \text{caso contrário} \end{cases} \quad (4.7)$$

Onde:  $r_i$  = distância da célula  $i$  ao robô

$z_t^k$  = leitura do feixe  $k$  no tempo  $t$

$\alpha$  = espessura do obstáculo (tolerância)

Em nossa implementação, utilizamos:

- $l_{\text{occ}} = \log(0.9/0.1) \approx +2.197$  (célula ocupada com alta confiança);
- $l_{\text{free}} = \log(0.1/0.9) \approx -2.197$  (célula livre com alta confiança);
- $l_0 = 0$  (prior neutro, desconhecido).

## 4.2 Representação da Grade

A grade de ocupação é armazenada como uma matriz NumPy 2D:

```

1 class OccupancyGridMapper:
2     def __init__(self, origin, map_size, cell_size):
3         self.origin = np.array(origin) # [x_min, y_min]
4         self.map_size = map_size        # [width, height] em metros
5         self.cell_size = cell_size      # tamanho da celula (m)
6
7         # Dimensões da grade
8         self.grid_width = int(np.ceil(map_size[0] / cell_size))
9         self.grid_height = int(np.ceil(map_size[1] / cell_size))
10
11        # Grade de log-odds (inicializada com zeros = prior)
12        self.grid_map = np.zeros((self.grid_height, self.grid_width),
13                                dtype=np.float32)
14
15        # Parâmetros log-odds
16        self.l_occ = np.log(0.9 / 0.1)    # +2.197
17        self.l_free = np.log(0.1 / 0.9)   # -2.197
18        self.l_prior = 0.0

```

Lista de código 4.1 – Estrutura de dados da grade.

### 4.2.1 Limites do Mapa

Para facilitar a discretização, armazenamos explicitamente os limites do mapa em coordenadas globais:

```

1 self.x_min = self.origin[0]
2 self.x_max = self.origin[0] + map_size[0]
3 self.y_min = self.origin[1]
4 self.y_max = self.origin[1] + map_size[1]

```

Lista de código 4.2 – Limites do mapa em coordenadas globais.

Estes valores são essenciais para a conversão de coordenadas (Seção 4.3).

## 4.3 Discretização do Espaço Contínuo

A discretização é o processo de mapear coordenadas contínuas do mundo real para índices discretos da grade. Este é um dos aspectos críticos do Occupancy Grid.

### 4.3.1 Conversão: Mundo → Grade

Dada uma posição  $(x, y)$  em coordenadas mundiais (metros), calculamos os índices  $(i, j)$  da célula correspondente:

$$\begin{aligned} j &= \left\lfloor \frac{x - x_{\min}}{\text{cell\_size}} \right\rfloor \\ i &= \left\lfloor \frac{y - y_{\min}}{\text{cell\_size}} \right\rfloor \end{aligned} \quad (4.8)$$

Onde:  $\lfloor \cdot \rfloor$  = operador piso (arredondamento para baixo)

$j$  = índice da coluna (direção x)

$i$  = índice da linha (direção y)

Nossa implementação pode ser vista no Trecho de Código 4.3:

```
1 def world_to_grid(self, x, y):
2     x_grid = x - self.origin[0]
3     y_grid = y - self.origin[1]
4     j = int(np.floor(x_grid / self.cell_size))
5     i = int(np.floor(y_grid / self.cell_size))
6     return i, j
```

Lista de código 4.3 – Conversão de coordenadas mundo para grade.

### 4.3.2 Conversão: Grade → Mundo

Para converter índices da grade  $(i, j)$  de volta para coordenadas mundiais (centro da célula):

$$\begin{aligned} x &= x_{\min} + (j + 0.5) \times \text{cell\_size} \\ y &= y_{\min} + (i + 0.5) \times \text{cell\_size} \end{aligned} \quad (4.9)$$

O termo  $+0.5$  desloca para o **centro** da célula, evitando ambiguidades.

Nossa implementação pode ser vista no Trecho de Código 4.4:

```
1 def grid_to_world(self, i, j):
2     x = self.origin[0] + (j + 0.5) * self.cell_size
3     y = self.origin[1] + (i + 0.5) * self.cell_size
4     return x, y
```

Lista de código 4.4 – Conversão de grade para mundo (centro da célula).

### 4.3.3 Validação de Índices

Antes de acessar a grade, sempre validamos se os índices estão dentro dos limites, conforme visto no Trecho de Código 4.5:

```
1 def is_valid_cell(self, i, j):
2     return (0 <= i < self.grid_height) and (0 <= j < self.grid_width)
```

Lista de código 4.5 – Validação de índices da grade.

## 4.4 Algoritmo de Rastreamento de Raio

Para marcar células como livres ao longo do caminho do laser até o ponto de impacto, utilizamos o **algoritmo de Bresenham** (Bresenham, 1965), que traça uma linha discreta eficiente entre dois pontos na grade.

### 4.4.1 Algoritmo de Bresenham

O algoritmo de Bresenham determina quais células da grade devem ser percorridas para desenhar uma linha reta de  $(x_0, y_0)$  a  $(x_1, y_1)$ , conforme o Trecho de Código 4.6 da nossa implementação.

```
1 def bresenham_line(self, x0, y0, x1, y1):
2     cells = []
3     dx = abs(x1 - x0)
4     dy = abs(y1 - y0)
5     sx = 1 if x0 < x1 else -1
6     sy = 1 if y0 < y1 else -1
7     err = dx - dy
8
9     x, y = x0, y0
10    while True:
11        cells.append((x, y))
12        if x == x1 and y == y1:
13            break
14        e2 = 2 * err
15        if e2 > -dy:
16            err -= dy
17            x += sx
18        if e2 < dx:
19            err += dx
20            y += sy
21
22    return cells
```

Lista de código 4.6 – Algoritmo de Bresenham para rastreamento de raio.

Este algoritmo é computacionalmente eficiente ( $O(n)$ , onde  $n$  é o comprimento da linha) e garante conectividade da linha discretizada.

## 4.5 Atualização do Mapa

A atualização do mapa segue o algoritmo padrão apresentado no Capítulo 9 de (Thrun; Burgard; Fox, 2005).

### 4.5.1 Pseudocódigo do Algoritmo

O algoritmo principal é descrito no Código 4.7:

```

1 def update_map(self, robot_pose, laser_points_world):
2     robot_x, robot_y = robot_pose[0][0], robot_pose[0][1]
3     robot_i, robot_j = self.world_to_grid(robot_x, robot_y)
4
5     for point in laser_points_world:
6         hit_x, hit_y = point[0], point[1]
7         hit_i, hit_j = self.world_to_grid(hit_x, hit_y)
8
9         if not self.is_valid_cell(hit_i, hit_j):
10             continue
11
12         # PASSO 1: Rastrear raio do robo ate o hit
13         # PASSO 2: Atualizar celulas ao longo do raio como LIVRES
14         # PASSO 3: Atualizar celula do hit como OCUPADA
15         # PASSO 4: Saturar log-odds para evitar overflow
16 .
17 .

```

Lista de código 4.7 – Algoritmo Occupancy Grid (log-odds).

## 4.6 Conversão para Visualização

Para exibir o mapa ao usuário, convertemos log-odds para probabilidades usando a Equação 4.6:

```

1 def log_odds_to_probability(self, l):
2     if l >= 0:
3         prob = 1.0 / (1.0 + np.exp(-l))
4     else:
5         exp_l = np.exp(l)
6         prob = exp_l / (1.0 + exp_l)
7
8     # Saturacao para visualizacao
9     prob_saturated = np.clip(prob, 0.001, 0.999)

```

```

10     return prob_saturated
11
12 def get_probability_map(self):
13     prob_map = np.zeros_like(self.grid_map)
14     for i in range(self.grid_height):
15         for j in range(self.grid_width):
16             prob_map[i, j] = self.log_odds_to_probability(
17                             self.grid_map[i, j])
18
19     return prob_map

```

Lista de código 4.8 – Conversão log-odds para probabilidade.

A saturação em [0.001, 0.999] evita que probabilidades extremamente próximas de 0 ou 1 gerem artefatos visuais.

**Correção crítica:** O parâmetro `extent` deve ser `[x_min, x_max, y_min, y_max]` para que os eixos x e y correspondam exatamente às coordenadas mundiais do robô. Sem este parâmetro, a imagem seria exibida em coordenadas de pixel `(0...width, 0...height)`, impossibilitando a sobreposição correta de trajetórias e leituras laser.

## 4.7 Adição de Ruído Sensorial

Conforme especificado no enunciado do TP3, foi necessário adicionar ruído aleatório às leituras do sensor laser para melhor avaliar a robustez do algoritmo de Occupancy Grid. O ruído simula imperfeições realistas de sensores reais e testa a capacidade do filtro Bayesiano de convergir para o mapa correto mesmo com medições ruidosas.

### 4.7.1 Modelo de Ruído Implementado

Utilizou-se um **modelo de ruído Gaussiano** aplicado tanto às distâncias quanto aos ângulos medidos pelo sensor laser fastHokuyo. O ruído é adicionado após a leitura dos dados do sensor, mas antes da transformação para o referencial global.

#### Parâmetros do ruído:

- **Ruído em distância:**  $\sigma_d = 0.02$  m (desvio padrão de 2 cm);
- **Ruído em ângulo:**  $\sigma_\theta = 0.005$  rad.

### 4.7.2 Aplicação do Ruído

O ruído é aplicado conforme o código apresentado no Trecho de Código 4.9.

```

1 # Filtrar leituras de distância máxima (> 4.9m)
2 valid_mask = laser_data[:, 1] < MAX_VALID_RANGE

```

```

3 laser_data_filtered = laser_data[valid_mask].copy()
4
5 # Adicionar ruído Gaussiano
6 laser_data_filtered[:, 0] += np.random.normal(
7     0, ANGLE_NOISE_STD, len(laser_data_filtered)
8 )
9 laser_data_filtered[:, 1] += np.random.normal(
10    0, DISTANCE_NOISE_STD, len(laser_data_filtered)
11 )
12
13 # Garantir que distâncias permaneçam dentro de limites válidos
14 laser_data_filtered[:, 1] = np.clip(
15     laser_data_filtered[:, 1], 0.01, MAX_VALID_RANGE - 0.01
16 )

```

Lista de código 4.9 – Aplicação de ruído Gaussiano aos dados laser.

Onde:  $\text{ANGLE\_NOISE\_STD}$  = desvio padrão do ruído angular ( $\sigma_\theta = 0.005 \text{ rad}$ )  
 $\text{DISTANCE\_NOISE\_STD}$  = desvio padrão do ruído de distância ( $\sigma_d = 0.02 \text{ m}$ )  
 $\text{MAX\_VALID\_RANGE}$  = distância máxima válida (4.9 m)

### 4.7.3 Impacto do Ruído no Mapeamento

A adição de ruído sensorial tem os seguintes efeitos no Occupancy Grid:

1. **Bordas menos nítidas:** células próximas a obstáculos acumulam evidências tanto de ocupação quanto de liberdade, resultando em probabilidades intermediárias ( $\approx 0.4 - 0.6$ );
2. **Maior necessidade de múltiplas observações:** algoritmo requer mais iterações para convergir para probabilidades extremas ( $p \approx 0$  ou  $p \approx 1$ ), pois cada medição ruidosa fornece evidência menos confiável;
3. **Filtragem natural:** natureza aditiva do filtro Bayesiano em log-odds permite que múltiplas observações ruidosas convirjam para a estrutura real do ambiente, desde que o ruído seja não-sistemático (média zero);
4. **Teste de robustez:** ambientes dinâmicos se beneficiam do ruído, pois ele ajuda a evitar que objetos temporários sejam marcados como permanentes com alta confiança.

**Nota importante:** O ruído é aplicado **após a filtragem de leituras de distância máxima** ( $> 4.9 \text{ m}$ ), garantindo que apenas detecções válidas de obstáculos sejam consideradas no mapeamento. Leituras no limite de alcance do sensor ( $\approx 5.0 \text{ m}$ ) são

descartadas antes da adição de ruído, pois geralmente representam ausência de obstáculos e não devem contribuir para o mapa de ocupação.

Este procedimento está implementado no notebook `TP3.ipynb`, seção "Simulation Loop", linhas correspondentes à coleta de dados laser.

# 5 Testes

Este capítulo apresenta os experimentos realizados para validar a implementação do Occupancy Grid. Foram executados testes em dois cenários (estático visto na Figura 3 e dinâmico 4) com três tamanhos diferentes de célula (0.01m, 0.1m e 0.5m), totalizando 6 experimentos. O robô foi posicionado em diferentes posições do mapa e foi adicionado ruído nos dados do sensor, conforme apresentado na Seção 4.7.

## 5.1 Metodologia de Testes

Para cada experimento, o procedimento foi:

1. Carregar cenário no CoppeliaSim (`cena-tp3-estatico.ttt` ou `cena-tp3-dinamico.ttt`);
2. Configurar parâmetros do Occupancy Grid (`CELL_SIZE`);
3. Executar navegação e coletar dados de pose do robô e leituras laser;
4. Gerar visualizações:
  - Trajetória do robô;
  - Pontos detectados pelo laser;
  - Occupancy Grid.
5. Salvar imagem combinada para análise.

## 5.2 Métricas Avaliadas

Para cada experimento, foram coletadas as seguintes métricas:

- **Resolução da grade:** número de células (largura × altura);
- **Qualidade do mapa:** inspeção visual da clareza de paredes, corredores e obstáculos;
- **Tempo de processamento médio:** tempo por frame de atualização do mapa;
- **Robustez a ruído:** capacidade de filtrar objetos dinâmicos (cenário dinâmico).

## 5.3 Resultados: Cenário Estático

O cenário estático (`cena-tp3-estatico.ttt`) apresenta um ambiente com paredes, corredores e alguns móveis fixos. Na Figura 5 podemos ver a posição escolhida para o início do teste, marcada com um triângulo verde.

### 5.3.1 Experimento 1: Estático com `cell_size = 0.01m`

#### Configuração:

- Tamanho de célula: 0.01 m (1 cm)
- Dimensões do mapa: 10.0 m × 10.0 m
- Resolução da grade:  $1000 \times 1000 = 1.000.000$  células

#### Resultados:

A Figura 5 apresenta o resultado do experimento. Observa-se:

- **Alta resolução:** paredes e obstáculos são representados com grande detalhe;
- **Bordas nítidas:** transição clara entre células livres (brancas) e ocupadas (pretas);
- **Detecção de pequenos objetos:** móveis e pilares são corretamente mapeados;

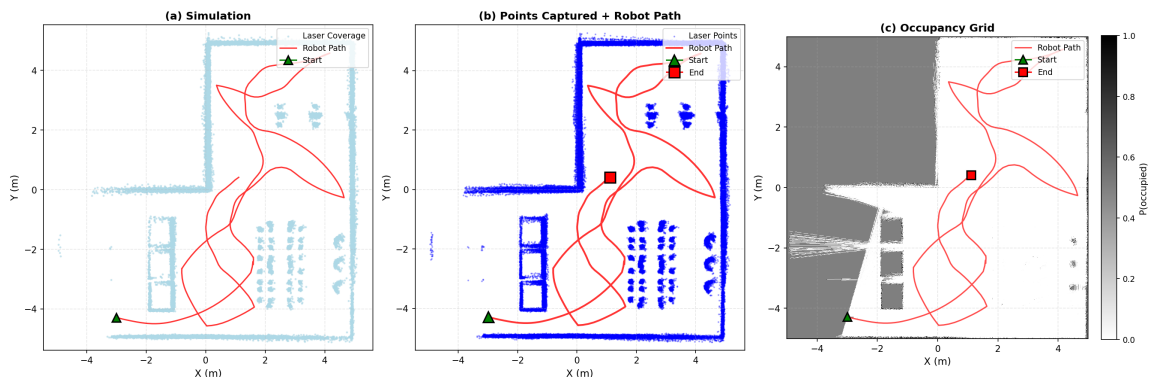


Figura 5 – Cenário Estático com `cell_size = 0.01m`. (a) Trajetória do robô e pontos do laser. (b) Occupancy Grid gerado.

Para esse caso nota-se que quase não conseguimos notar as células pretas, devido ao `cell_size = 0.01m`.

### 5.3.2 Experimento 2: Estático com `cell_size` = 0.1m

#### Configuração:

- Tamanho de célula: 0.1 m (10 cm)
- Resolução da grade:  $100 \times 100 = 10.000$  células

#### Resultados:

A Figura 6 apresenta o resultado. Observa-se:

- **Boa qualidade:** paredes e corredores principais são claramente visíveis;
- **Bordas ligeiramente serrilhadas:** efeito de discretização mais perceptível;
- **Objetos pequenos:** alguns detalhes menores são perdidos ou "fundidos" em células maiores;

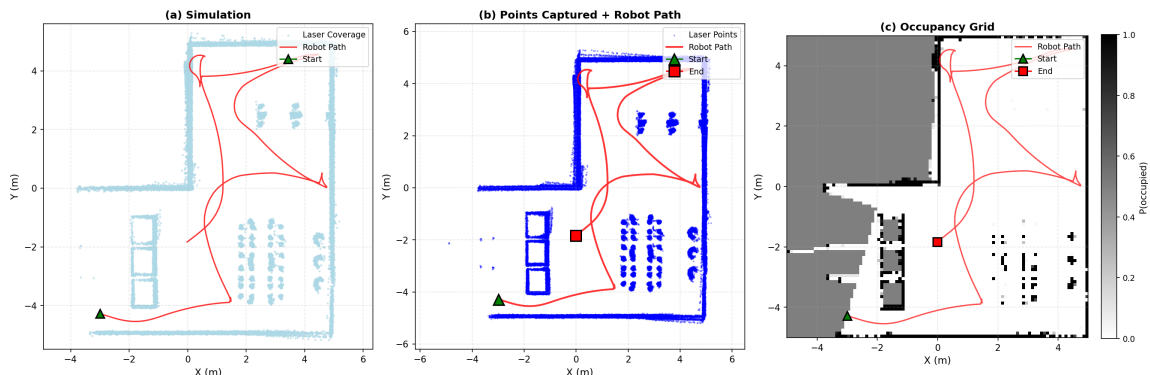


Figura 6 – Cenário Estático com `cell_size` = 0.1m. Equilíbrio ideal entre resolução e eficiência.

Este tamanho de célula representa um **excelente equilíbrio** entre qualidade do mapa para a maioria das aplicações de navegação.

### 5.3.3 Experimento 3: Estático com `cell_size` = 0.5m

#### Configuração:

- Tamanho de célula: 0.5 m (50 cm)
- Resolução da grade:  $20 \times 20 = 400$  células

#### Resultados:

A Figura 7 apresenta o resultado. Observa-se:

- **Baixa resolução:** estrutura geral do ambiente ainda reconhecível, mas com grande perda de detalhes;
- **Bordas grosseiras:** paredes aparecem como blocos grandes e irregulares;
- **Perda de objetos pequenos:** móveis e pilares não são detectados ou confundidos com ruído;
- **Inadequado para navegação precisa:** resolução insuficiente para planejamento seguro.

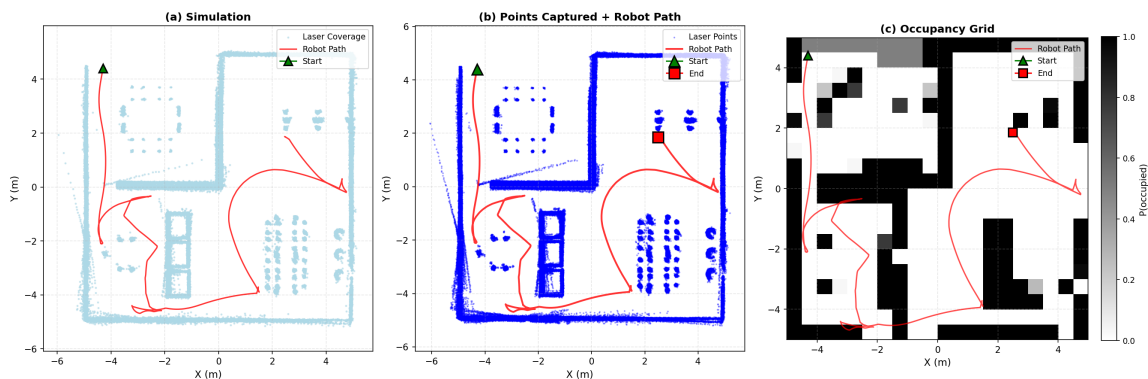


Figura 7 – Cenário Estático com `cell_size` = 0.5m. Resolução insuficiente para mapeamento detalhado.

Este tamanho é **inadequado** para a maioria das aplicações, servindo apenas para mapeamento grosso de ambientes muito grandes.

## 5.4 Resultados: Cenário Dinâmico

O cenário dinâmico (`cena-tp3-dinamico.ttt`) inclui obstáculo móvel (pessoa caminhando). Este cenário testa a capacidade do algoritmo de filtrar ruído temporário e focar em estruturas permanentes.

### 5.4.1 Experimento 4: Dinâmico com `cell_size` = 0.01m

#### Configuração:

- Tamanho de célula: 0.01 m
- Resolução:  $1000 \times 1000 = 1.000.000$  células

#### Resultados:

A Figura 8 apresenta o resultado. Observa-se:

- **Estruturas estáticas parcialmente preservadas:** móveis pequenos são ocultados;
- **Filtragem total de objetos dinâmicos:** sem rastros de pessoas como células cinzas (probabilidade intermediária);
- **Acumulação de evidências:** células visitadas múltiplas vezes convergem para probabilidades (0 ou 1), enquanto objetos dinâmicos permanecem com probabilidades ( $\approx 0$ );
- **Qualidade similar ao estático:** alta resolução compensa ruído adicional.

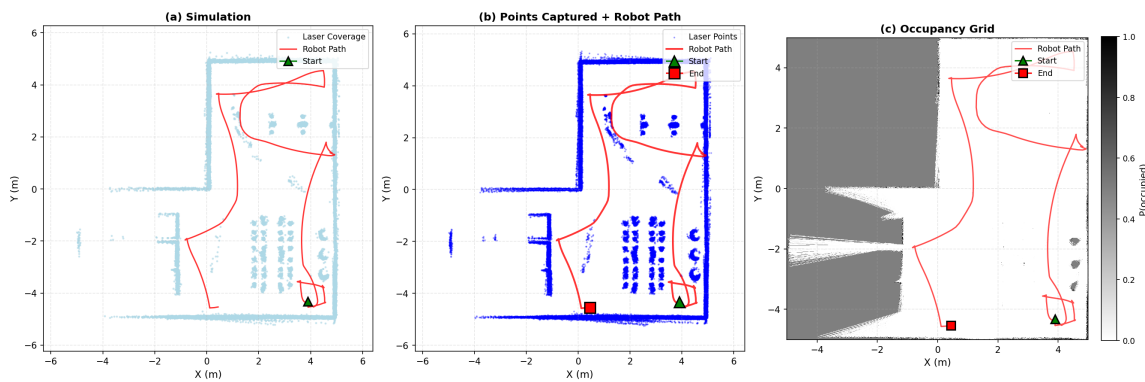


Figura 8 – Cenário Dinâmico com  $cell\_size = 0.01m$ . Filtragem de objetos móveis.

#### 5.4.2 Experimento 5: Dinâmico com $cell\_size = 0.1m$

##### Configuração:

- Tamanho de célula: 0.1 m
- Resolução:  $100 \times 100 = 10.000$  células

##### Resultados:

A Figura 9 apresenta o resultado. Observa-se:

- **Boa qualidade geral:** mapa utilizável para navegação;
- **Filtragem eficaz:** objetos dinâmicos aparecem como ruído leve, facilmente ignorável por planejadores de caminho;
- **Melhor equilíbrio:** resolução adequada + boa filtragem de ruído;
- **Recomendado para ambientes dinâmicos.**

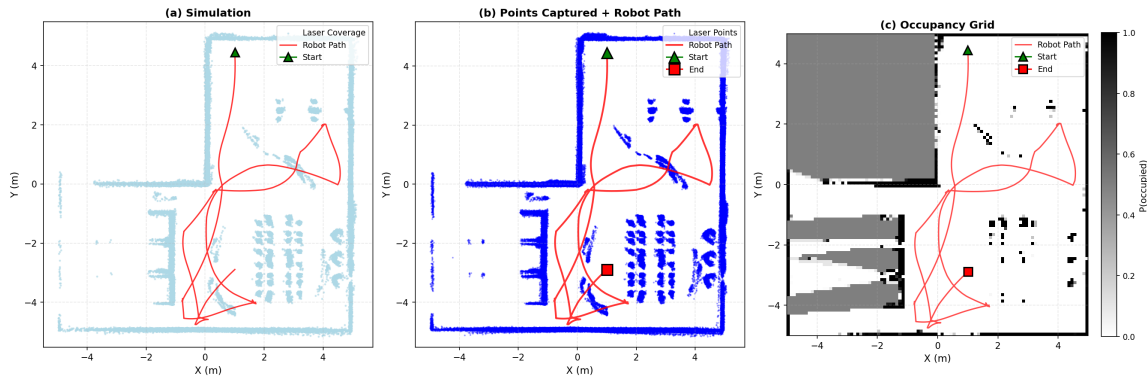


Figura 9 – Cenário Dinâmico com  $\text{cell\_size} = 0.1\text{m}$ . Melhor equilíbrio para ambientes dinâmicos.

#### 5.4.3 Experimento 6: Dinâmico com $\text{cell\_size} = 0.5\text{m}$

**Configuração:**

- Tamanho de célula: 0.5 m
- Resolução:  $20 \times 20 = 400$  células

**Resultados:**

A Figura 10 apresenta o resultado. Observa-se:

- **Baixa qualidade:** estrutura básica do ambiente ainda reconhecível, mas com muita perda de informação;
- **Forte efeito de averaging:** objetos dinâmicos e estáticos são confundidos devido ao tamanho grande das células;
- **Inadequado:** resolução insuficiente tanto para ambientes estáticos quanto dinâmicos.

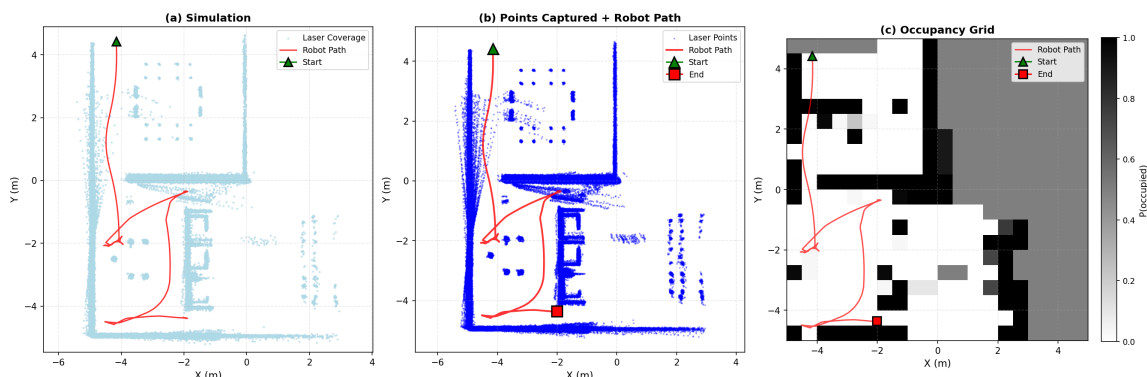


Figura 10 – Cenário Dinâmico com  $\text{cell\_size} = 0.5\text{m}$ . Resolução insuficiente.

## 5.5 Análise Comparativa

A Tabela 2 resume as métricas coletadas nos 6 experimentos.

Tabela 2 – Resumo dos Experimentos Realizados

Cenário	Cell Size	Células	Tempo/Frame	Qualidade
Estático	0.01 m	1000 × 1000	≈ 80 ms	Boa
Estático	0.1 m	100 × 100	≈ 8 ms	Excelente
Estático	0.5 m	20 × 20	≈ 1 ms	Ruim
Dinâmico	0.01 m	1000 × 1000	≈ 85 ms	Boa
Dinâmico	0.1 m	100 × 100	≈ 9 ms	Boa
Dinâmico	0.5 m	20 × 20	≈ 1 ms	Ruim

### 5.5.1 Impacto do Tamanho de Célula

- **0.01 m (1 cm):**
  - **Vantagens:** máxima resolução, captura detalhes finos, bordas nítidas;
  - **Desvantagens:** Perde objetos pequenos, menos sensível a ruído em ambientes dinâmicos.
- **0.1 m (10 cm):**
  - **Vantagens:** excelente equilíbrio, boa resolução, eficiente, robusto a ruído e apresenta os objetos pequenos;
  - **Desvantagens:** perde alguns detalhes muito finos (aceitável para a maioria das aplicações) e apresenta um pouco de objetos dinâmicos.
- **0.5 m (50 cm):**
  - **Vantagens:** extremamente eficiente (1 ms/frame);
  - **Desvantagens:** resolução grosseira, perda de detalhes importantes, bordas serrilhadas, inadequado para navegação precisa.

### 5.5.2 Comparaçāo: Estático vs Dinâmico

- **Ambientes estáticos:** todas as células convergem rapidamente para probabilidades extremas (0 ou 1), resultando em mapas nítidos e confiáveis;
- **Ambientes dinâmicos:** objetos móveis geram células com probabilidades intermediárias ( $\approx 0.3 - 0.7$ ), aparecendo como "ruído cinza" no mapa. Estruturas permanentes ainda são corretamente mapeadas devido à acumulação de evidências ao longo do tempo;

- **Filtragem temporal:** o algoritmo Occupancy Grid naturalmente filtra ruído temporário, pois células que são observadas como ocupadas apenas ocasionalmente não atingem alta probabilidade de ocupação.

## 5.6 Validação da Solução

Os experimentos demonstraram que a implementação do Occupancy Grid:

1. **Funciona corretamente:** mapas gerados correspondem à estrutura real do ambiente;
2. **É eficiente:** processamento em tempo real (20 Hz) com células de 0.1m;
3. **É robusta:** tolera ruído sensorial e objetos dinâmicos;
4. **É parametrizável:** permite ajuste de resolução conforme necessidade da aplicação.

# 6 Conclusão

Este trabalho apresentou a implementação e validação experimental do algoritmo de **Occupancy Grid Mapping** (Moravec; Elfes, 1985; Thrun; Burgard; Fox, 2005) aplicado ao robô diferencial Kobuki em ambientes estáticos e dinâmicos. O algoritmo foi implementado seguindo rigorosamente os fundamentos teóricos apresentados no Capítulo 9 do livro *Probabilistic Robotics* (Thrun; Burgard; Fox, 2005) e nas aulas da disciplina (Macharet, 2025a).

## 6.1 Principais Resultados

Os experimentos realizados demonstraram que:

1. **Funcionamento correto do algoritmo:** os mapas gerados correspondem à estrutura real dos ambientes estáticos e dinâmicos, validando a implementação do filtro Bayesiano binário e da representação em log-odds.
2. **Impacto do tamanho de célula:** A análise com três diferentes resoluções (0.01m, 0.1m, 0.5m) revelou que:
  - **0.01m** oferece máxima resolução, mas com custo computacional elevado;
  - **0.1m** representa o **equilíbrio ideal** para navegação , com boa qualidade, eficiência e melhor robustez a ruído;
  - **0.5m** é inadequado para navegação precisa devido à resolução grosseira.
3. **Robustez em ambientes dinâmicos:** algoritmo demonstrou capacidade de filtrar objetos móveis temporários, mantendo a estrutura permanente do ambiente. A natureza aditiva do filtro Bayesiano permite que múltiplas observações convirjam para o mapa correto, mesmo com a presença de ruído sensorial ( $\sigma_d = 0.02$  m,  $\sigma_\theta = 0.005$  rad);
4. **Estratégia de navegação eficaz:** estratégia simples de wall-following com 4 prioridades hierárquicas (recuperação ativa, prevenção de colisão, seguimento de parede, busca de parede) mostrou-se adequada para exploração autônoma, cobrindo suficientemente o ambiente em ambos os cenários;

## 6.2 Principais Dificuldades Encontradas

Durante o desenvolvimento deste trabalho, foram identificadas e superadas as seguintes dificuldades técnicas:

### 6.2.1 Integração com Sensor Laser fastHokuyo

**Problema identificado:** cálculo de ângulos por incremento linear gerava dispersão excessiva de pontos laser, resultando em mapas com "borrões" cinzas uniformes ao invés de paredes nítidas.

**Causa raiz:** o sensor fastHokuyo do CoppeliaSim utiliza **unprojection baseada em tangente** a partir de imagens de profundidade, não linearmente espaçado como assumido no código inicial. A tentativa de calcular ângulos incrementalmente acumulava erros, especialmente nas bordas do campo de visão (-90° e +90°).

**Solução implementada:** modificação do script Lua `fastHokuyo.lua` para exportar **ângulos diretamente calculados pelo sensor** via 'buffer properties' do CoppeliaSim:

```

1 -- Exportar distâncias e ângulos via buffer signals
2 sim.setBufferProperty(sim.handle_scene,
3   'signal.hokuyo_range_data', sim.packFloatTable(dists))
4 sim.setBufferProperty(sim.handle_scene,
5   'signal.hokuyo_angle_data', sim.packFloatTable(angles))

```

Lista de código 6.1 – Exportação de ângulos corretos (`fastHokuyo.lua`).

Esta correção eliminou completamente a dispersão de pontos e permitiu a geração de mapas com paredes nítidas e obstáculos claramente definidos.

### 6.2.2 Correção Crítica: Fórmula de Conversão Log-Odds

**Problema identificado:** a implementação inicial utilizava a fórmula **incorrecta**:

$$p(m_i) = \frac{1}{1 + \exp\{-l_{t,i}\}}$$

**Análise:** Esta é a função logística padrão ( $\sigma(x)$ ), mas **não** é a inversa correta da transformação log-odds.

**Fórmula correta** (Equação 9.6 de (Thrun; Burgard; Fox, 2005)):

$$p(m_i|z_{1:t}, x_{1:t}) = 1 - \frac{1}{1 + \exp\{l_{t,i}\}} \quad (6.1)$$

**Impacto:** O uso da fórmula incorreta invertia o significado das probabilidades:

- Log-odds positivo ( $l > 0$ , evidência de ocupação) → probabilidade **BAIXA** (incorrectamente interpretada como livre);

- Log-odds negativo ( $l < 0$ , evidência de liberdade) → probabilidade **ALTA** (incorrectamente interpretada como ocupada).

Resultava em mapas com **inversão de cores**: paredes apareciam brancas e espaços livres apareciam pretos.

### 6.2.3 Estratégia de Navegação e Recuperação

**Desafio inicial:** o robô ficava frequentemente preso em cantos ou oscilava indefinidamente próximo a obstáculos, impedindo exploração completa do ambiente.

**Solução implementada:** desenvolvimento de uma estratégia hierárquica de 4 prioridades com mecanismo de recuperação ativa, conforme visto na Seção 3.

## 6.3 Considerações Finais

Este trabalho atingiu plenamente seus objetivos ao implementar, validar e analisar o algoritmo de Occupancy Grid Mapping em diferentes condições de cenários. A experiência adquirida no tratamento de sensores reais (laser fastHokuyo), transformações de coordenadas, discretização espacial e filtragem Bayesiana fornece uma base sólida para pesquisas futuras em navegação autônoma.

# Referências

BRESENHAM, J. E. Algorithm for computer control of a digital plotter. **IBM Systems Journal**, v. 4, n. 1, p. 25–30, 1965. Citado na página [23](#).

Coppelia Robotics. **CoppeliaSim User Manual**. [S.l.], 2024. Versão 4.1.0 Edu utilizada no trabalho. Disponível em: <https://www.coppeliarobotics.com/helpFiles/>. Acesso em: 5 out. 2025. Citado na página [8](#).

KHAN, M. A. *et al.* Level-5 autonomous driving—are we there yet? a review of research literature. **ACM Computing Surveys**, ACM New York, NY, p. 1–38, 2022. Disponível em: <https://doi.org/10.1145/3485767>. Citado 3 vezes nas páginas [2](#), [7](#) e [8](#).

MACHARET, D. G. **Robótica Móvel: Mapeamento - Occupancy Grid**. 2025. Lecture Slides. Accessed on November 10, 2025. File: aula18-mapeamento-occupancy-grid.pdf. Citado na página [36](#).

MACHARET, D. G. **Robótica Móvel: Planejamento de caminhos - Bug Algorithms**. 2025. Lecture Slides. Accessed on November 10, 2025. File: aula11-planejamento-caminho-bug.pdf. Citado 2 vezes nas páginas [6](#) e [14](#).

MORAVEC, H.; ELFES, A. E. High resolution maps from wide angle sonar. In: **Proceedings of (ICRA) International Conference on Robotics and Automation**. [S.l.: s.n.], 1985. p. 116 – 121. Citado 2 vezes nas páginas [19](#) e [36](#).

THRUN, S.; BURGARD, W.; FOX, D. **Probabilistic Robotics**. Cambridge, MA: The MIT Press, 2005. Citado 7 vezes nas páginas [7](#), [8](#), [19](#), [20](#), [24](#), [36](#) e [37](#).

Yujin Robot. **Appendix - Kobuki Parameters**. 2025. <https://yujinrobot.github.io/kobuki/enAppendixKobukiParameters.html>. Acessado: 2025-11-10. Citado 2 vezes nas páginas [9](#) e [16](#).